

La calibración fotométrica absoluta de Gaia DR2

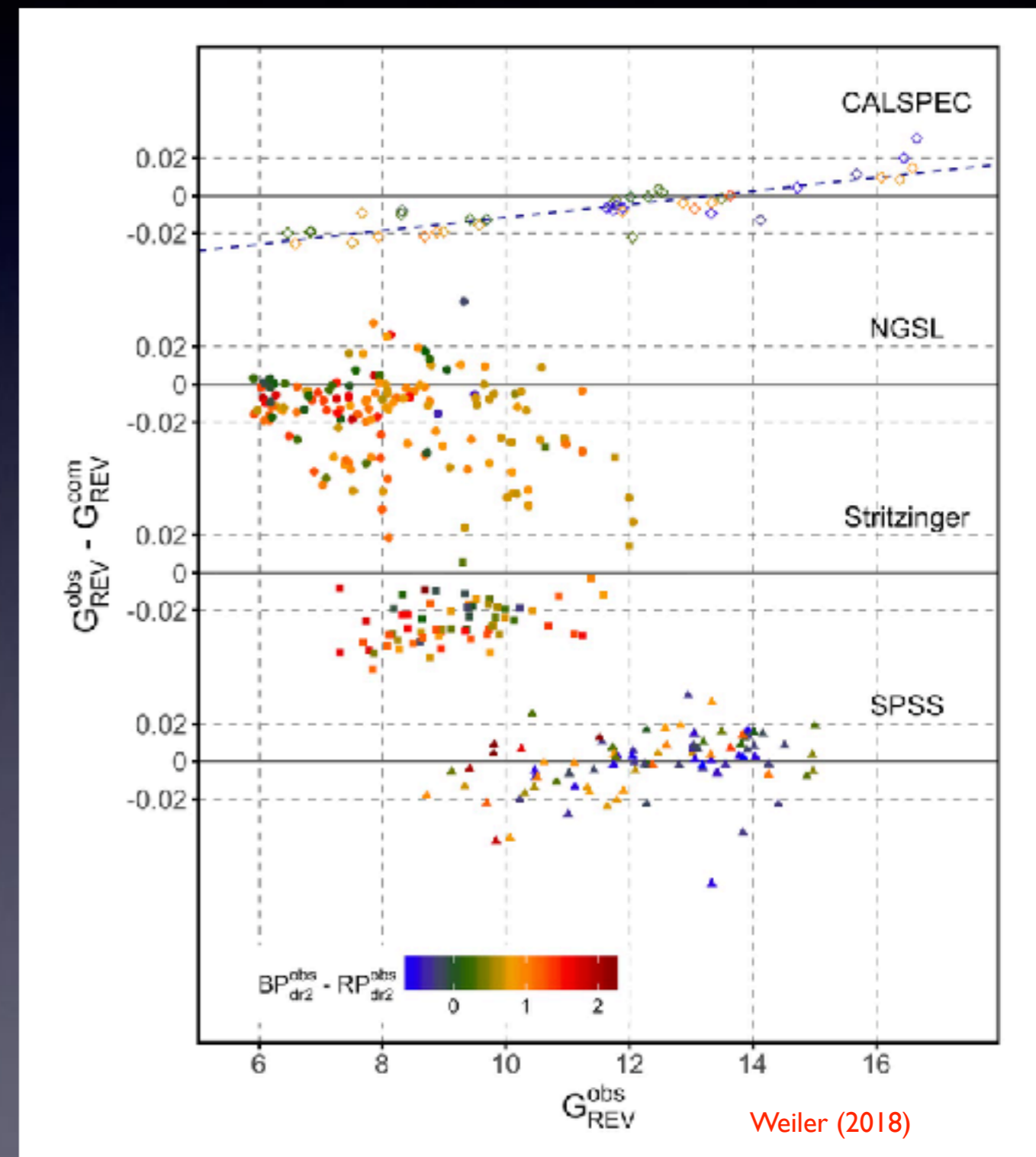
Jesús Maíz Apellániz

CAB, CSIC-INTA

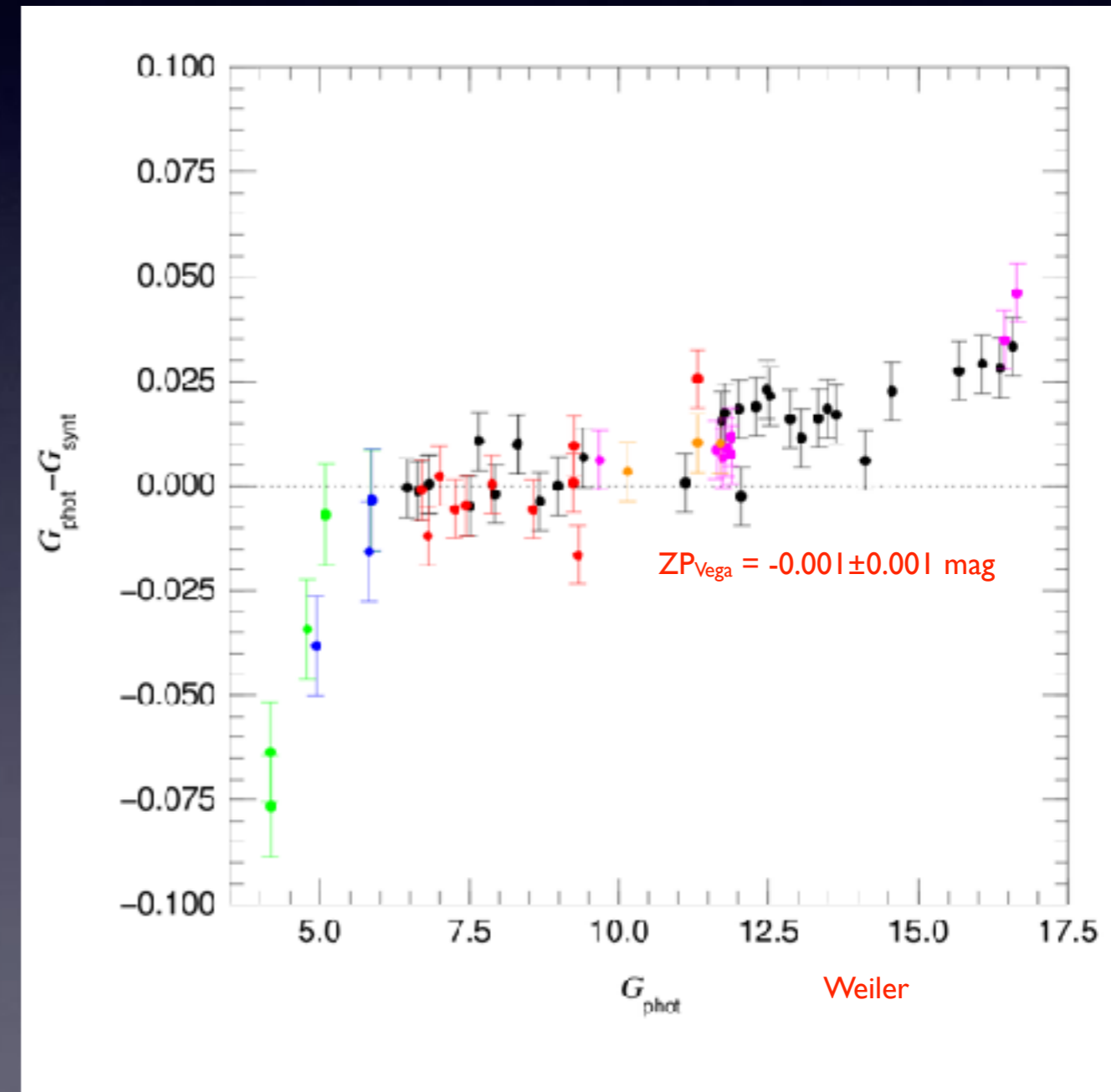
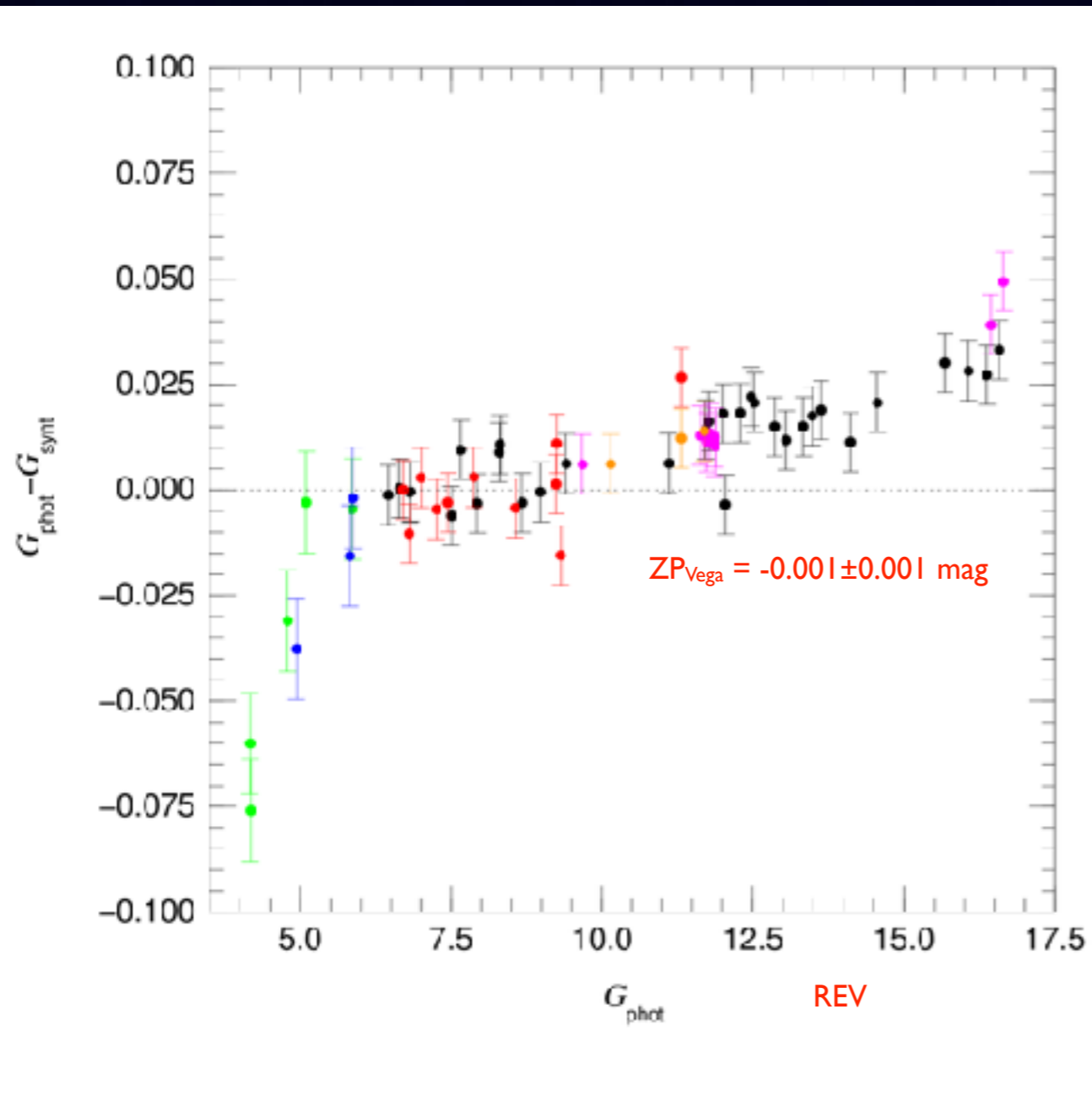
Barcelona, lunes 28 de mayo de 2018

Bibliotecas de distribuciones espectrales de energía

- Tierra:
 - ★ Stritzinger
 - ★ SPSS
- STIS/HST:
 - ★ NGSL
 - ★ CALSPEC: 42
 - ★ HOTSTAR: 19

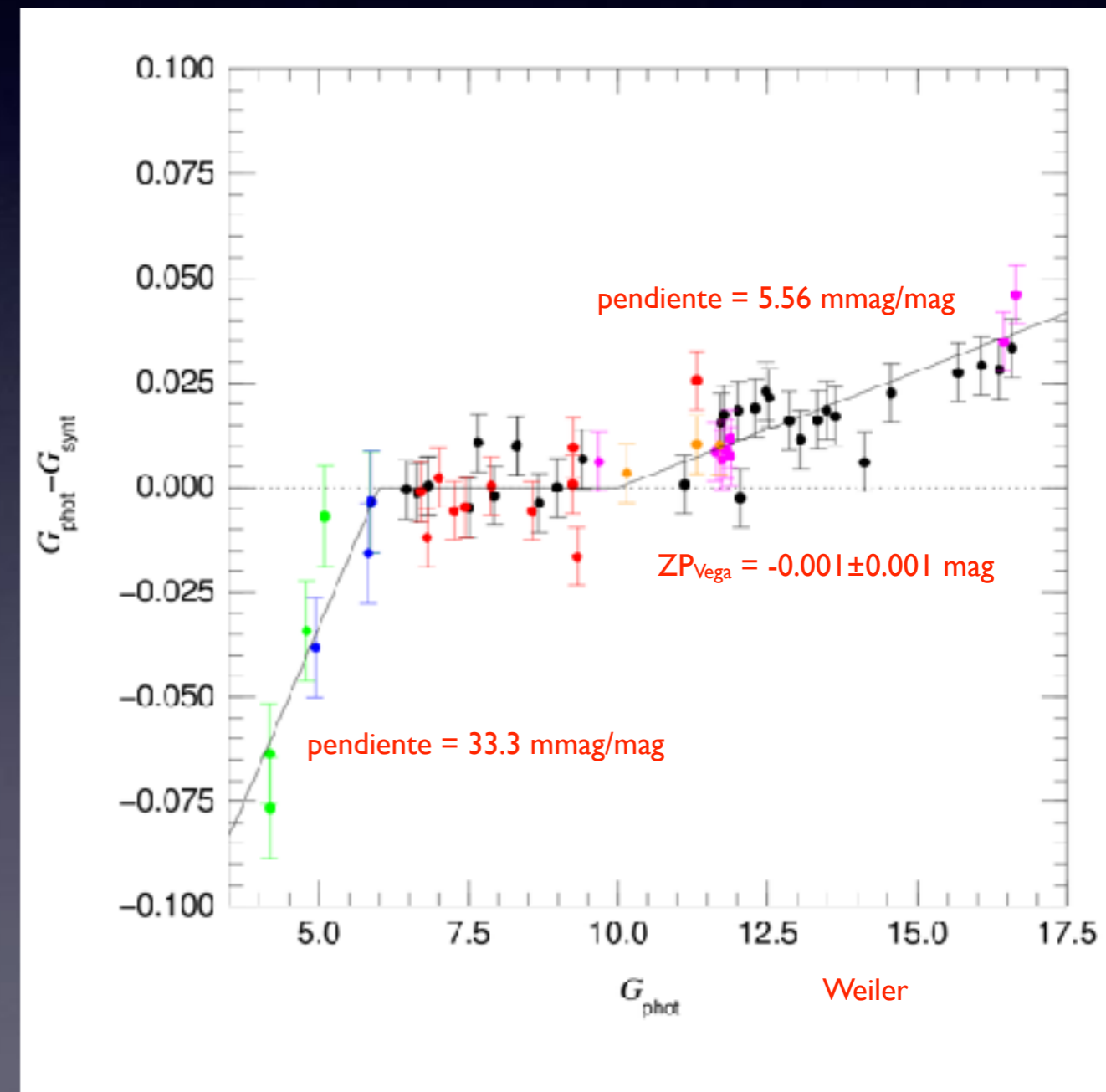
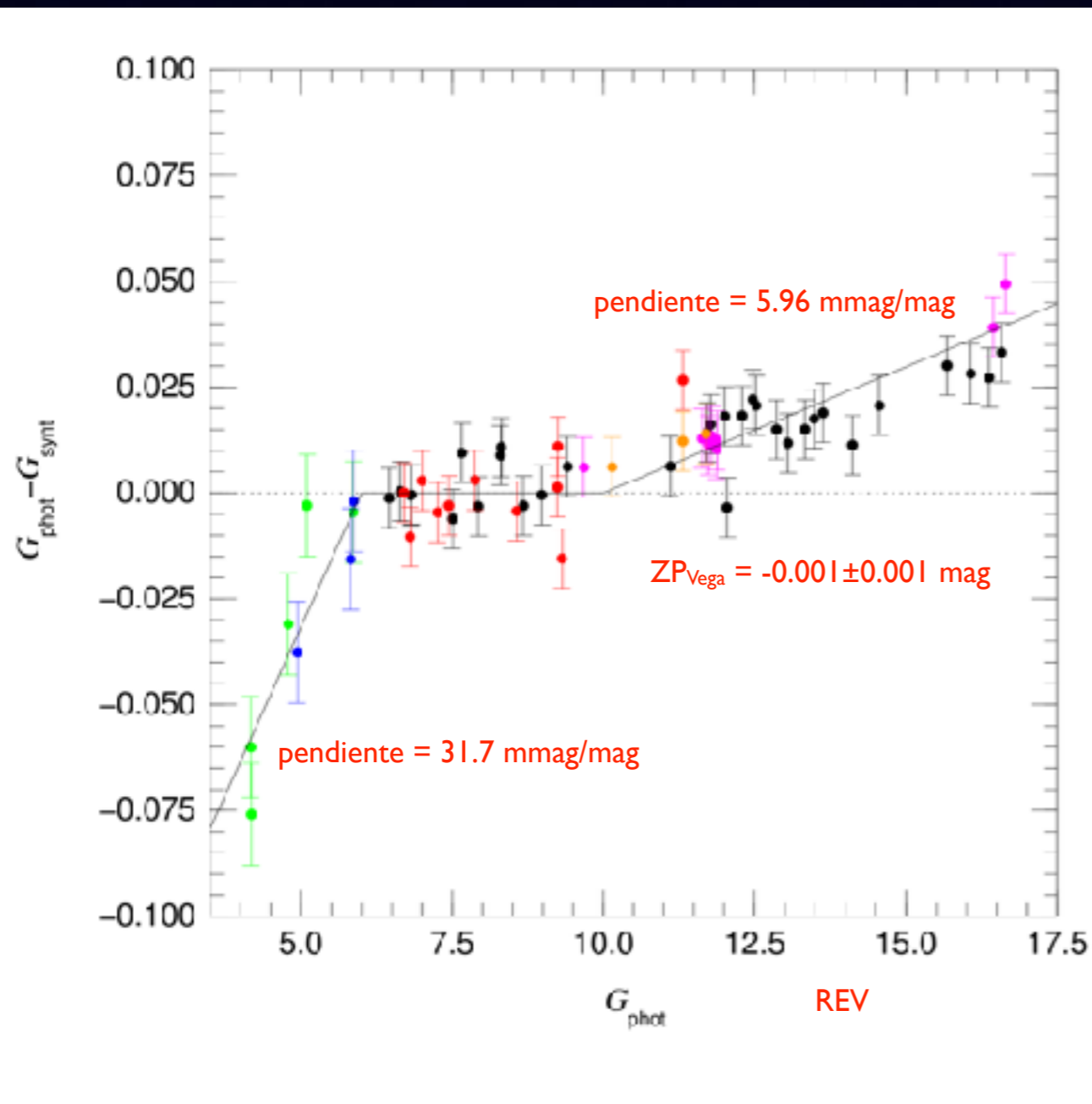


La banda G

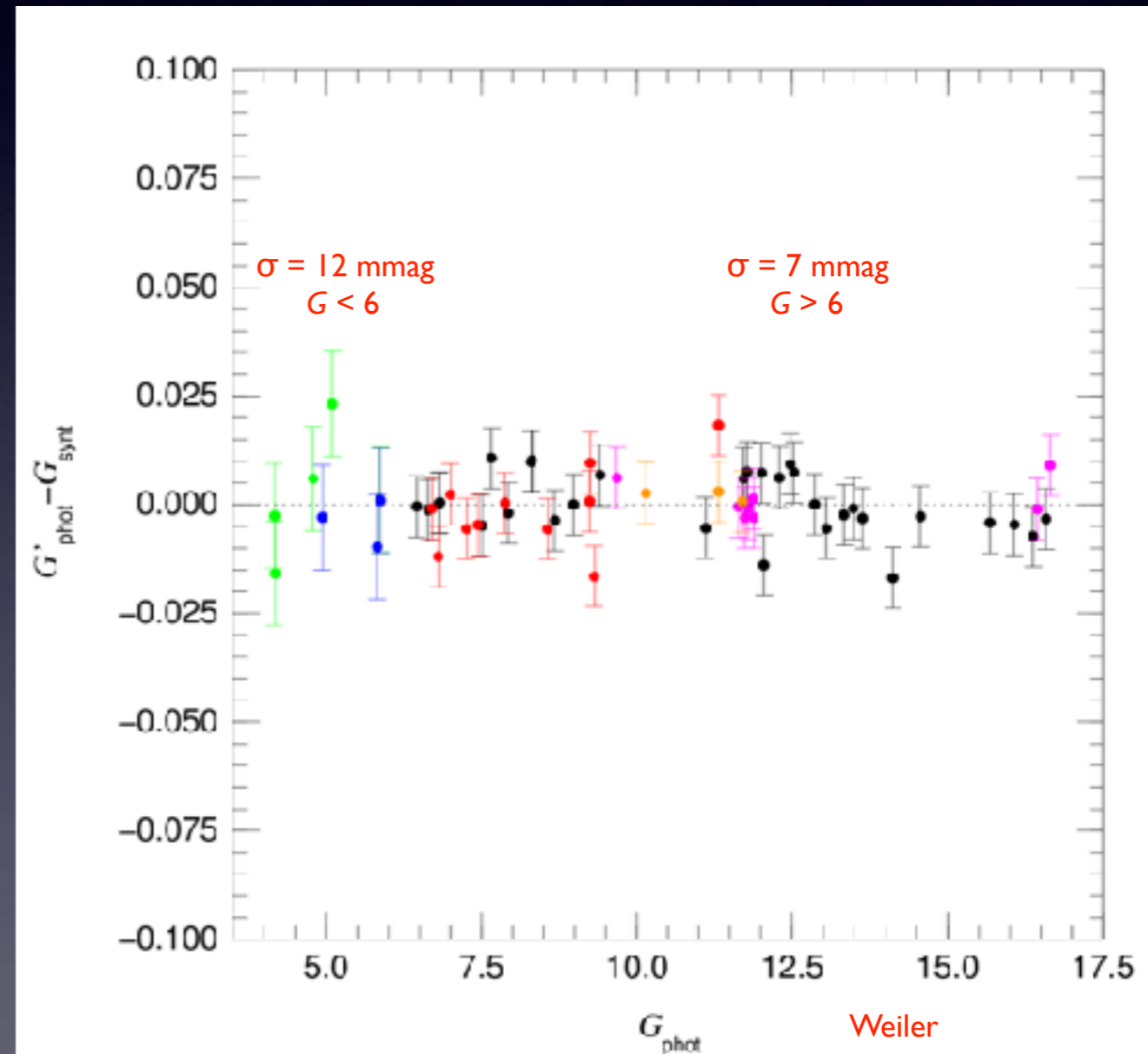
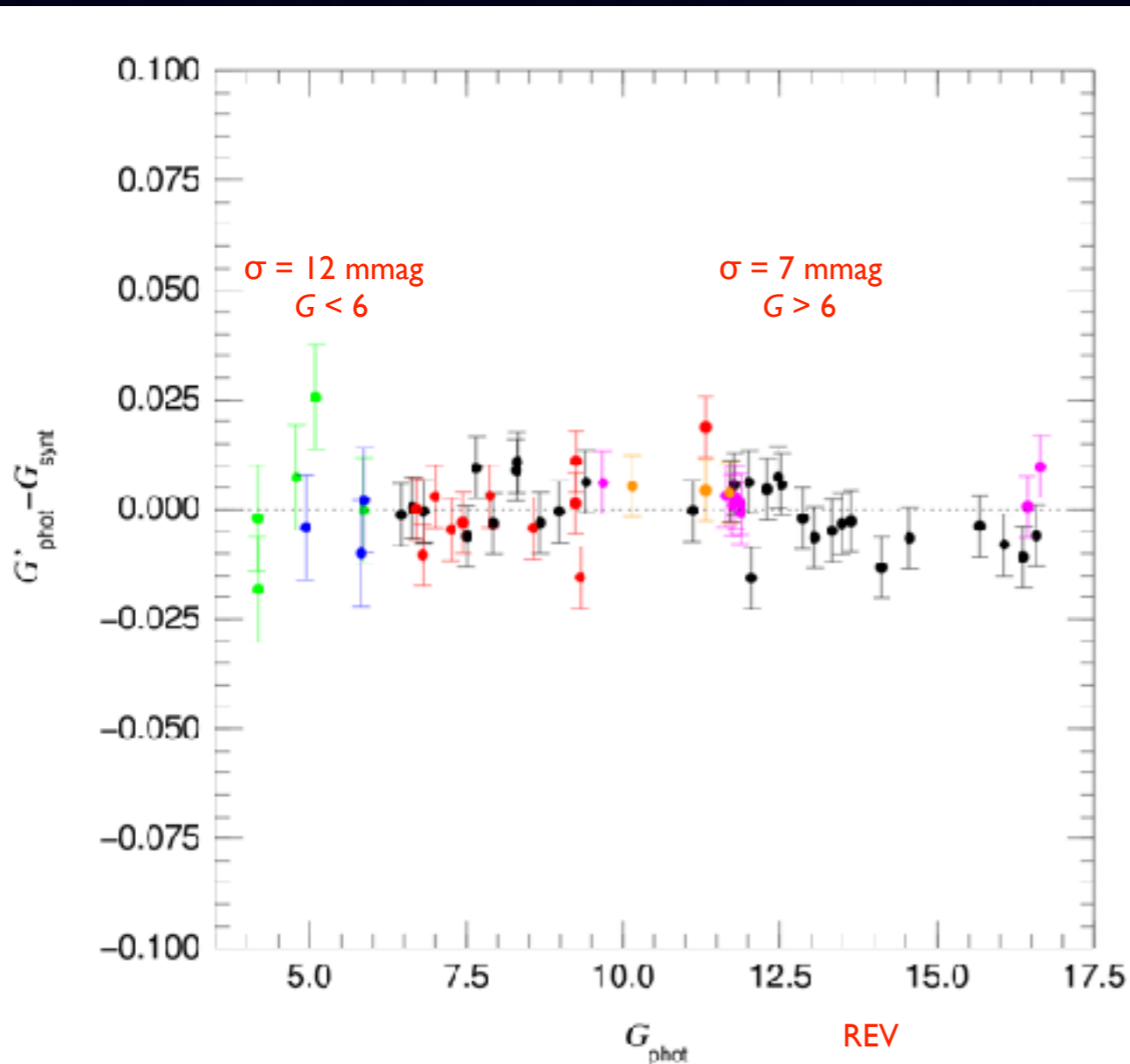


La banda G

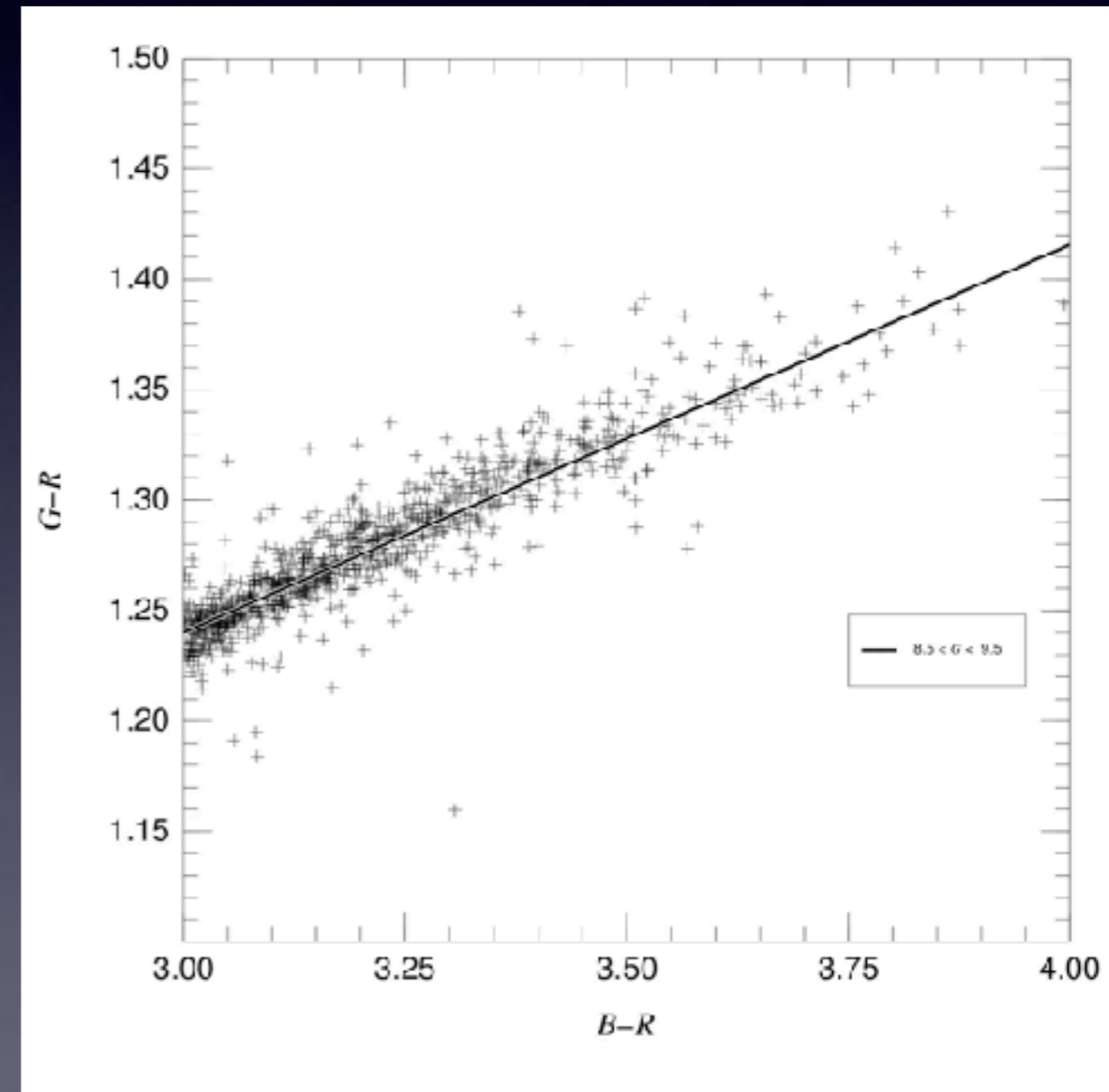
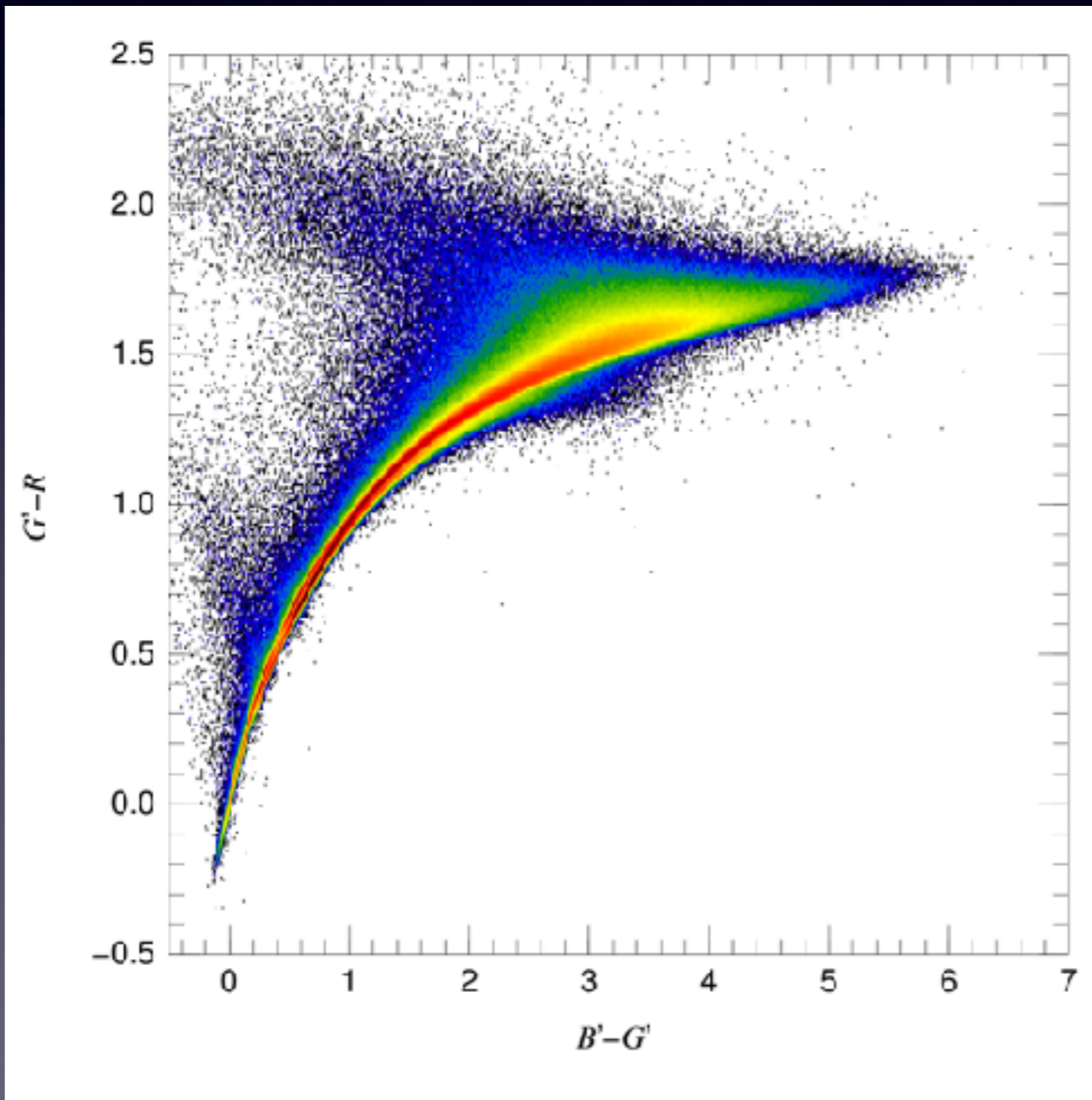
- Efecto similar entre magnitudes 6 y 16 detectado por Arenou et al. (2018), Evans et al. (2018) y Weiler (2018).
- Dos tramos en vez de efecto continuo.



La banda G

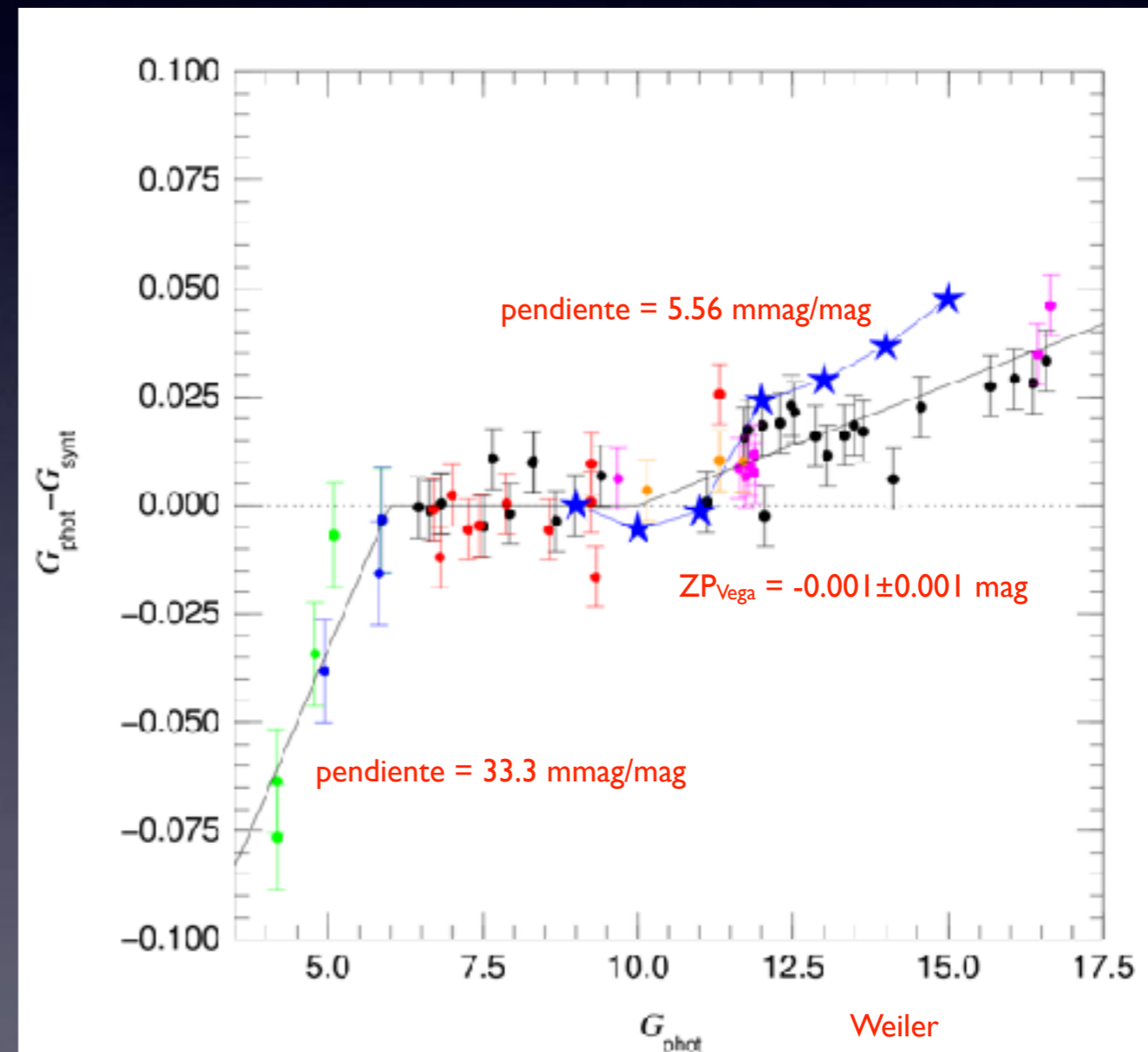
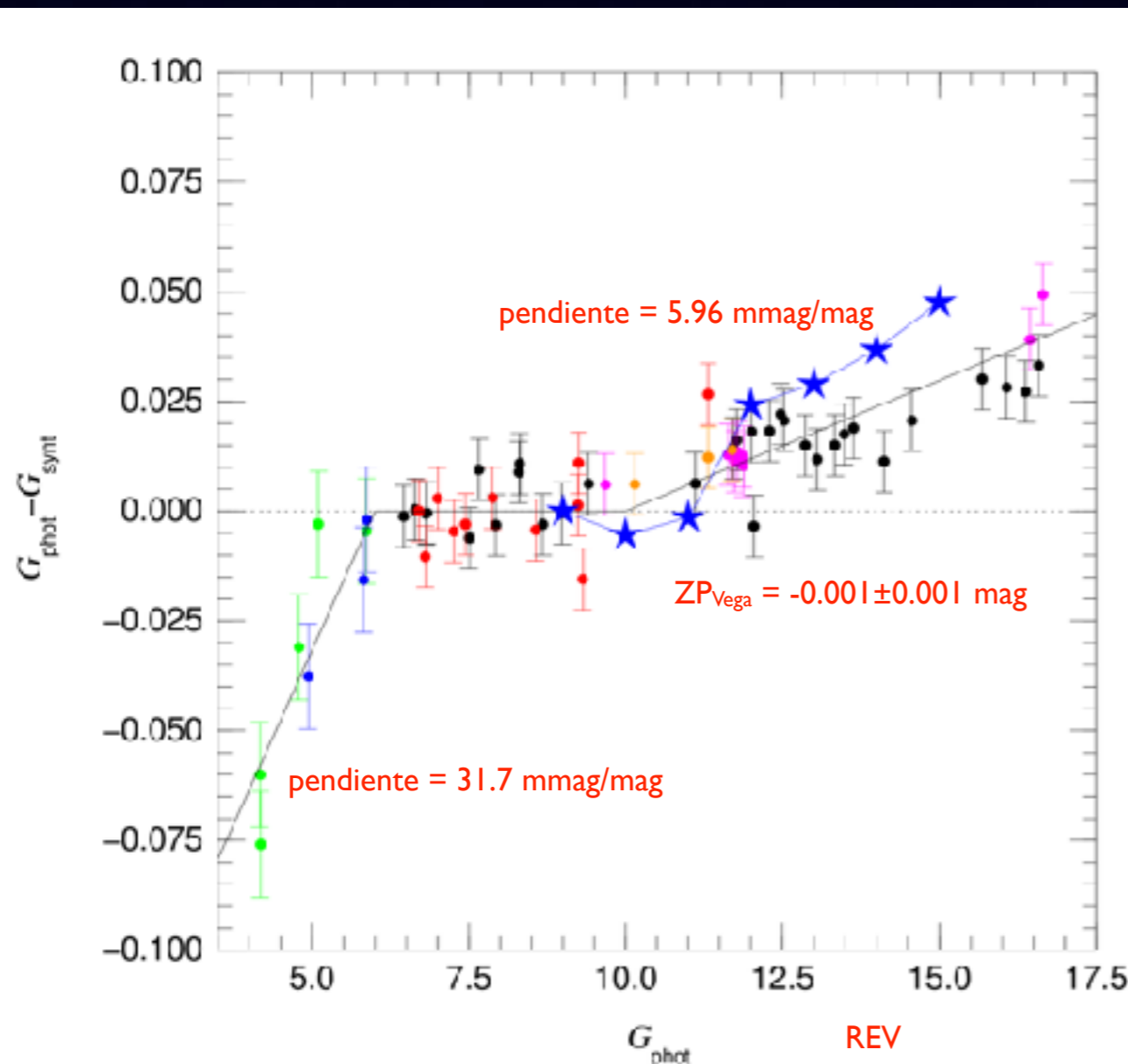


La banda G

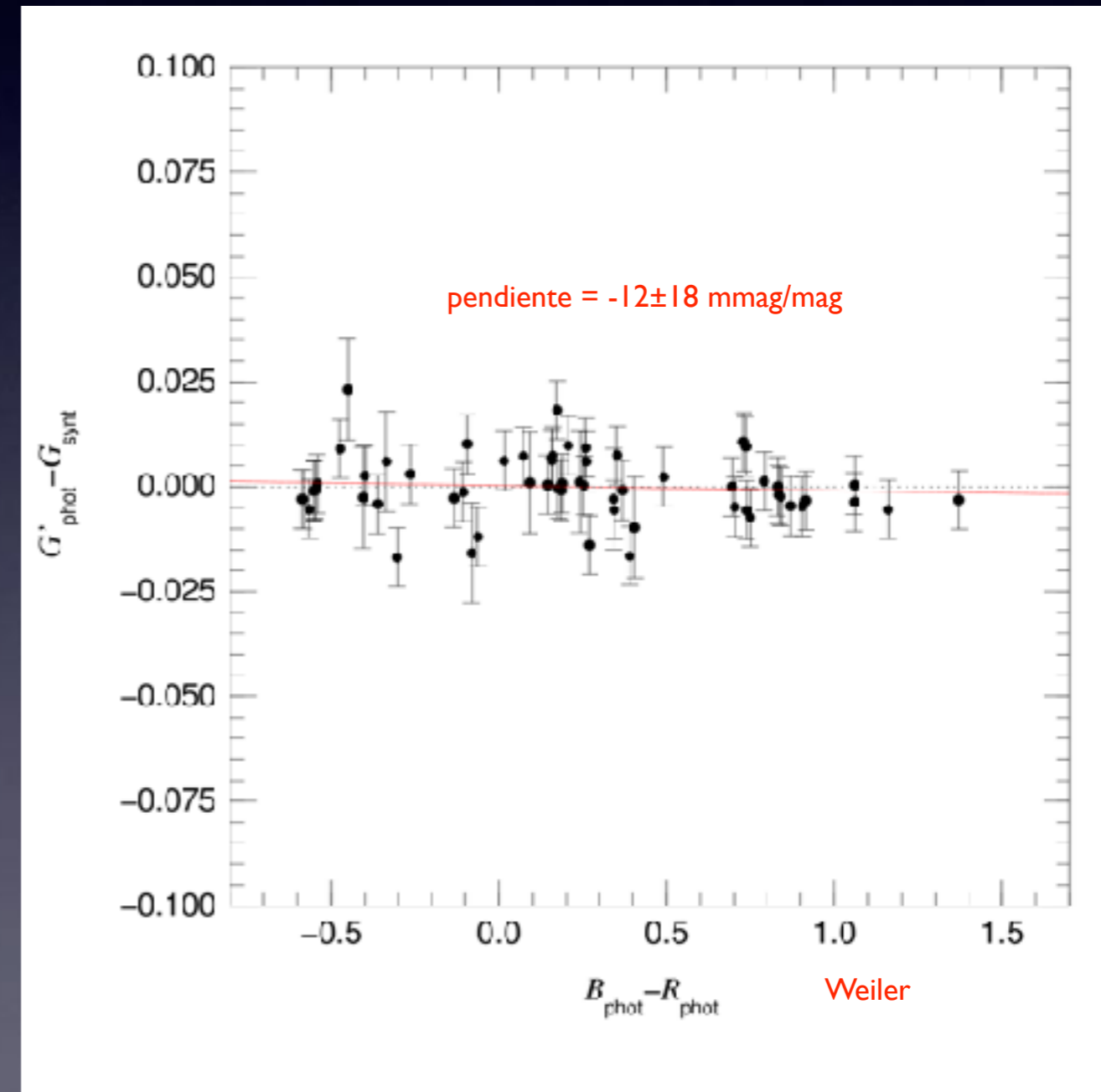
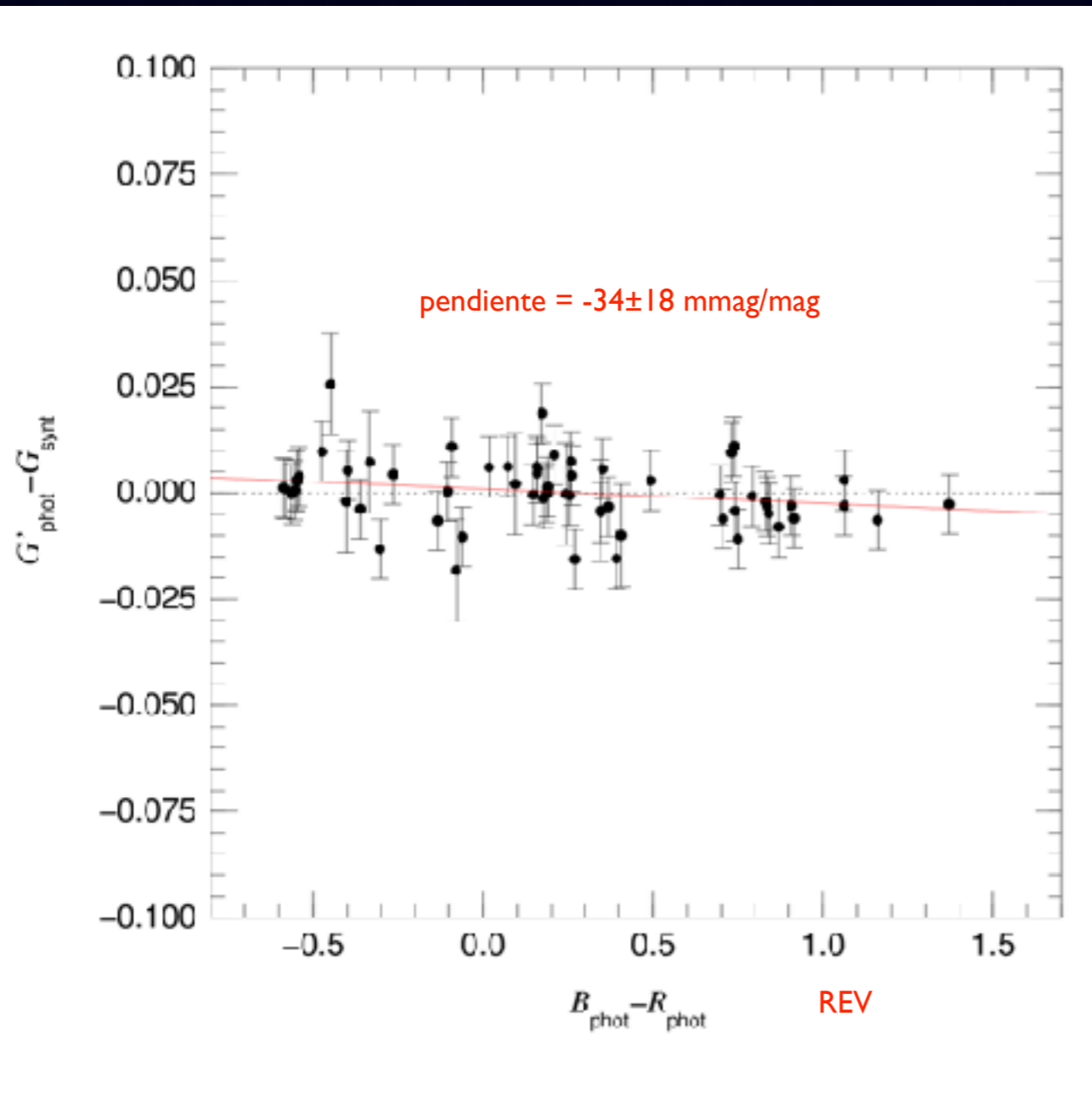


La banda G

- Efecto similar entre magnitudes 6 y 16 detectado por Arenou et al. (2018), Evans et al. (2018) y Weiler (2018).
- Dos tramos en vez de efecto continuo.

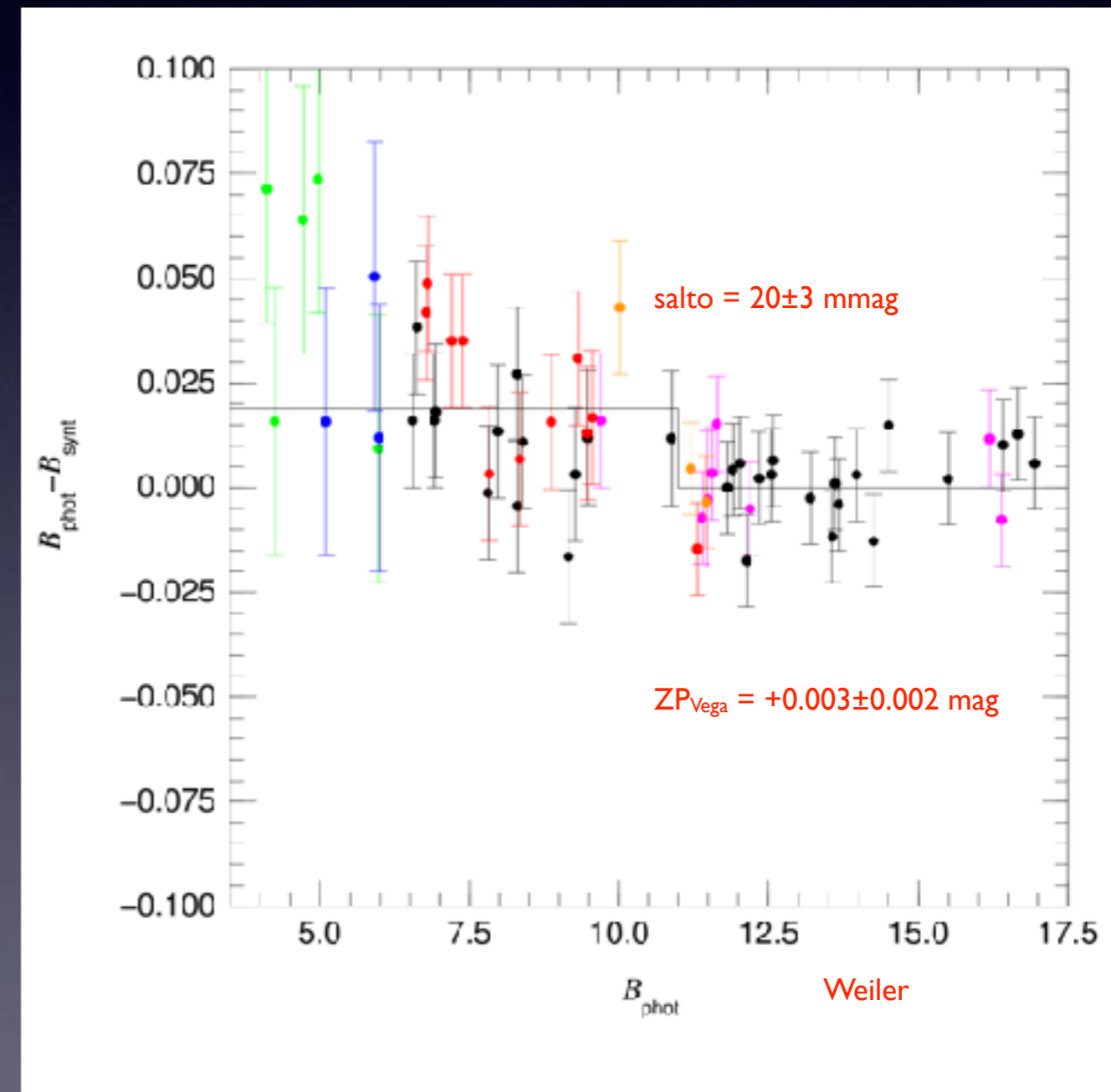
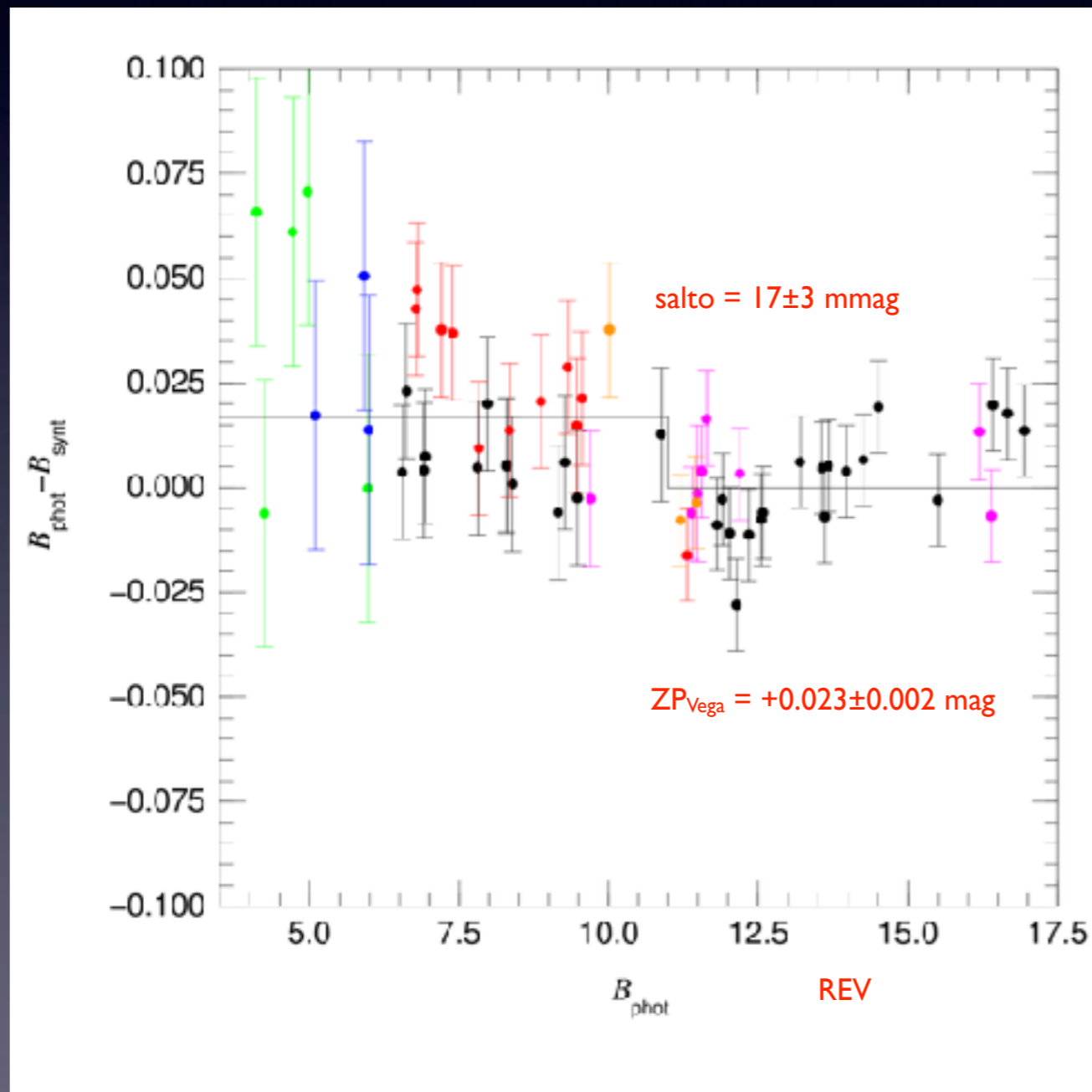


La banda G



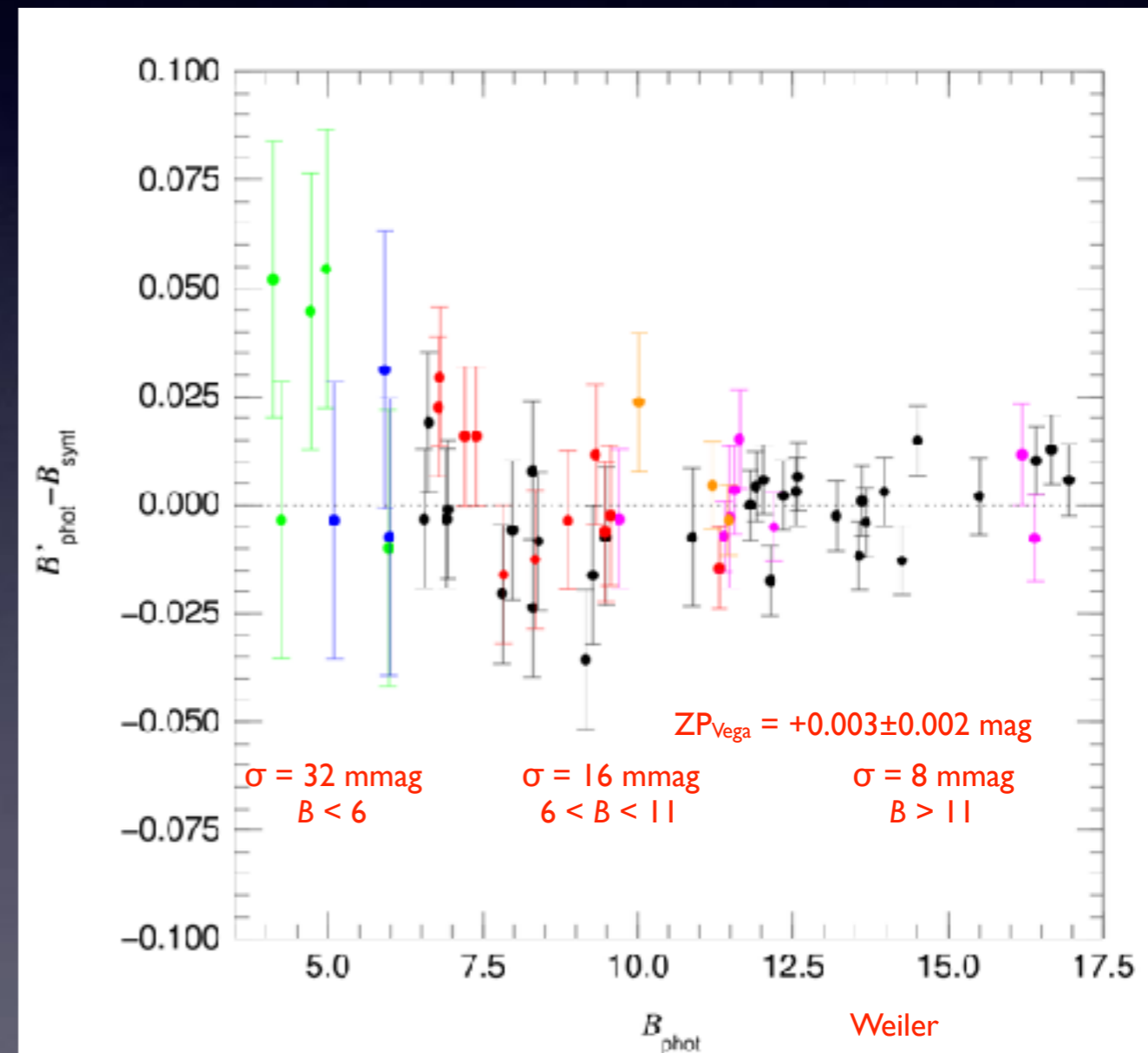
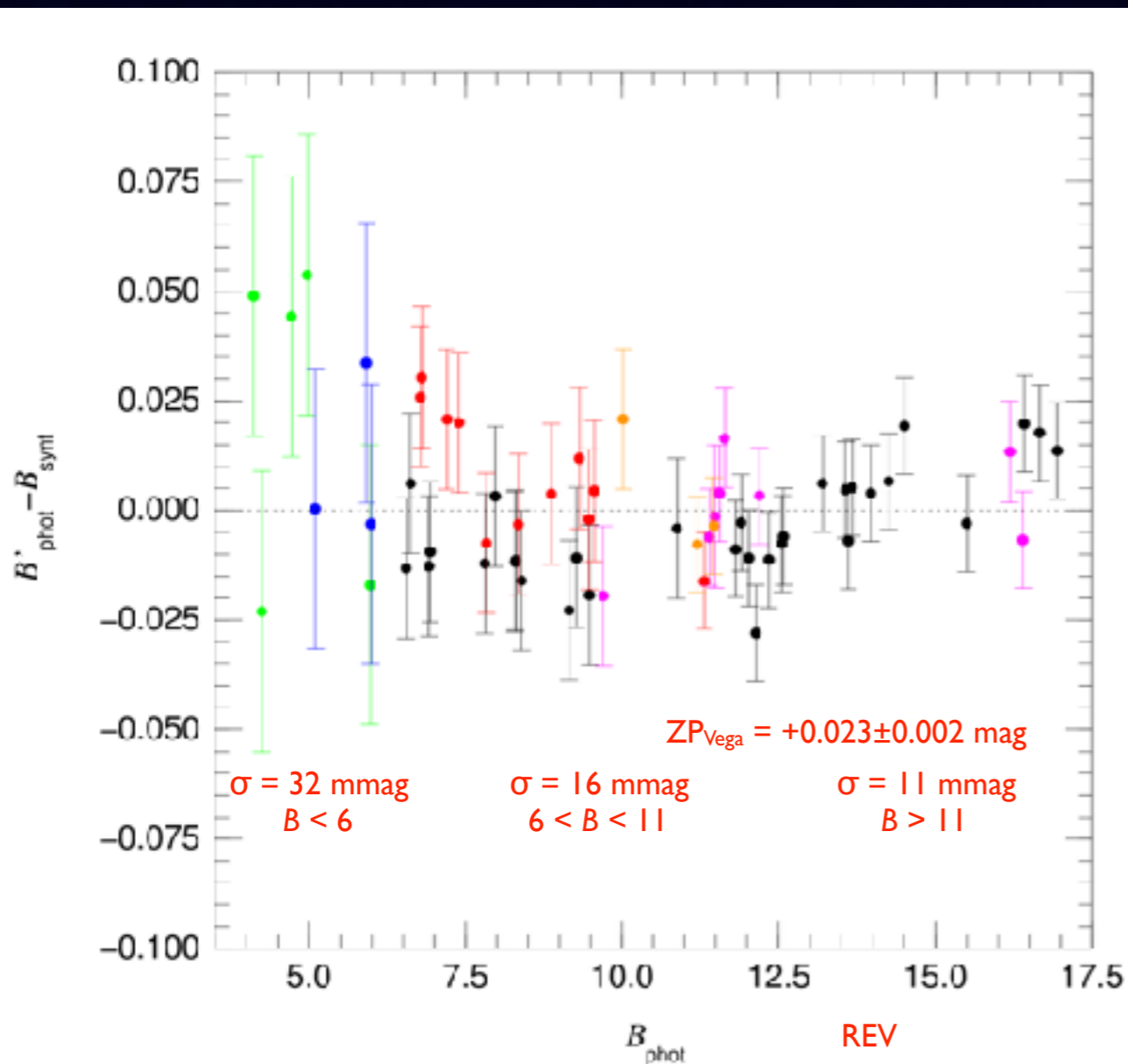
La banda B

- Weiler (2018):
 - ★ Salto en $B = 11$ de 20 mmag.
 - ★ Curvas de sensibilidad diferentes a ambos lados de $B = 11$.



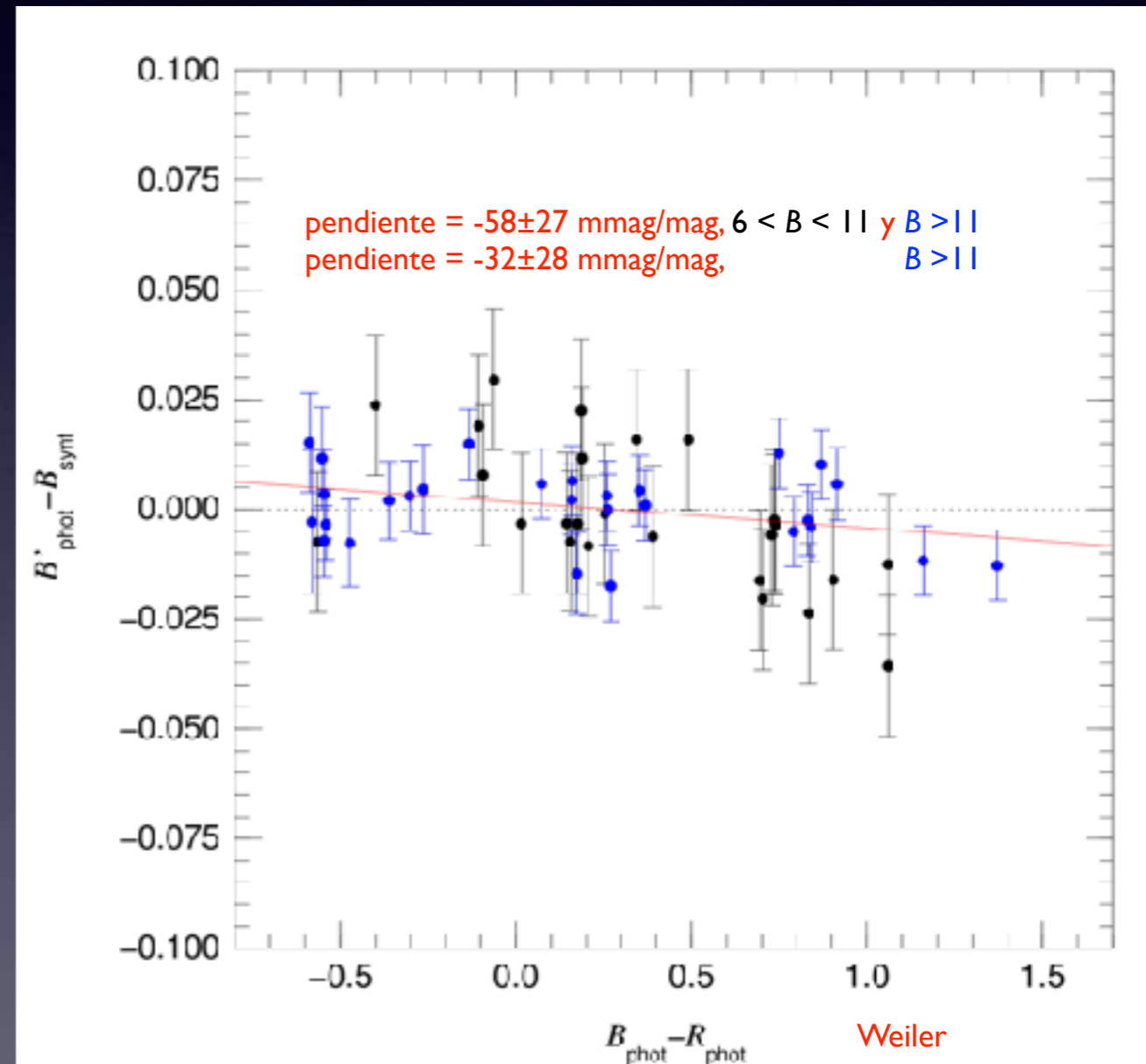
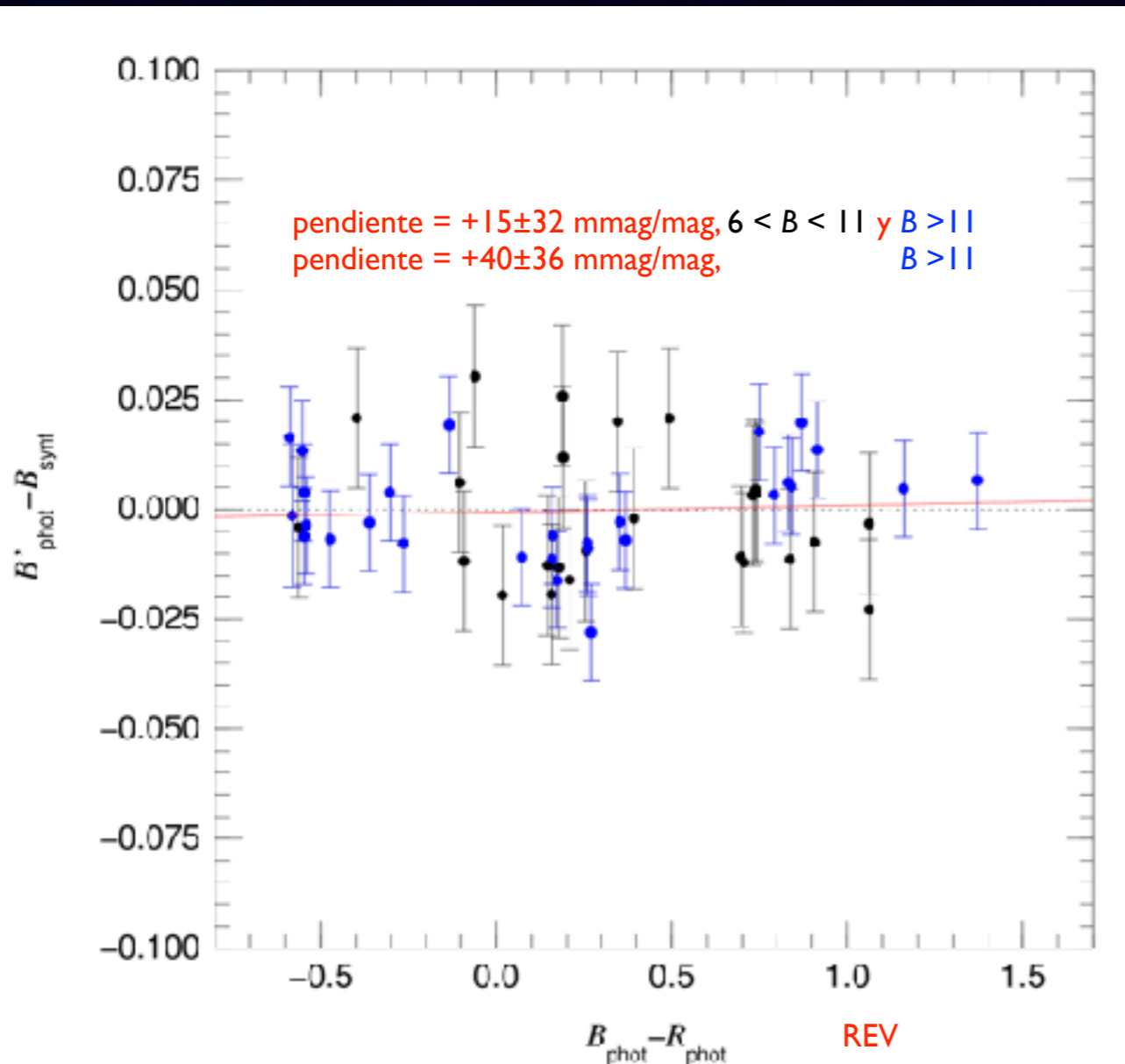
La banda B

- Weiler (2018):
 - ★ Salto en $B = 11$ de 20 mmag.
 - ★ Curvas de sensibilidad diferentes a ambos lados de $B = 11$.

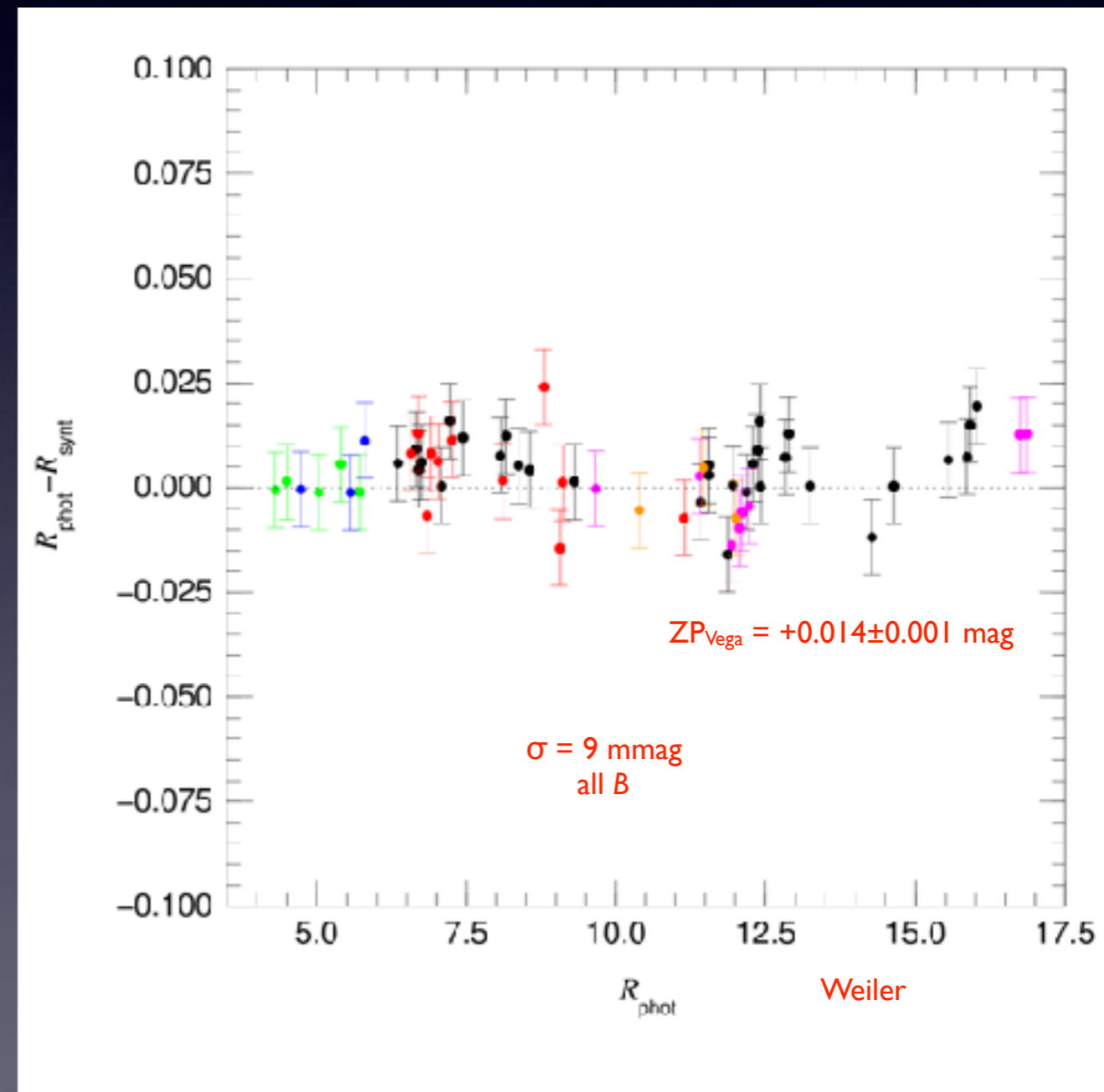
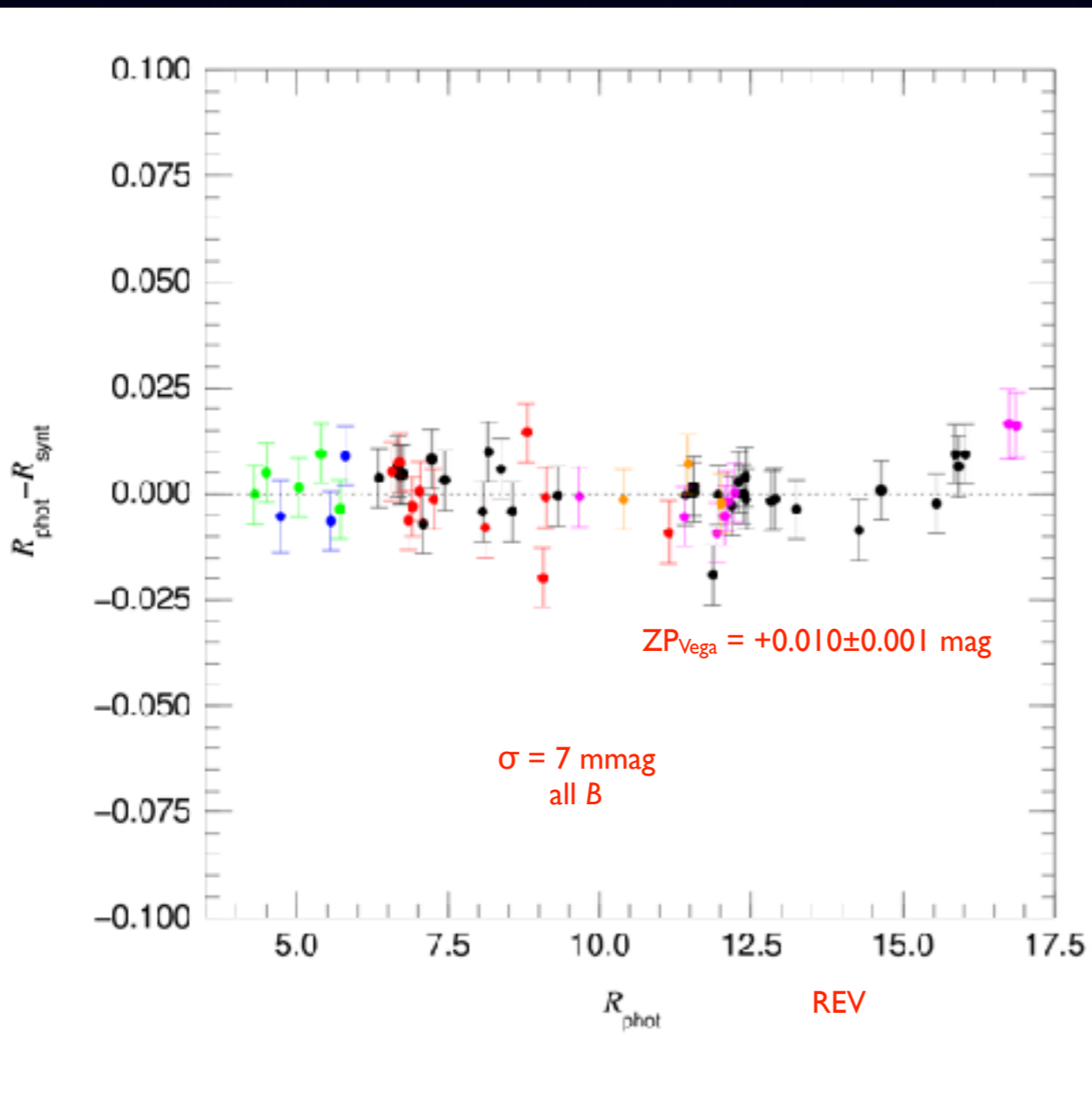


La banda B

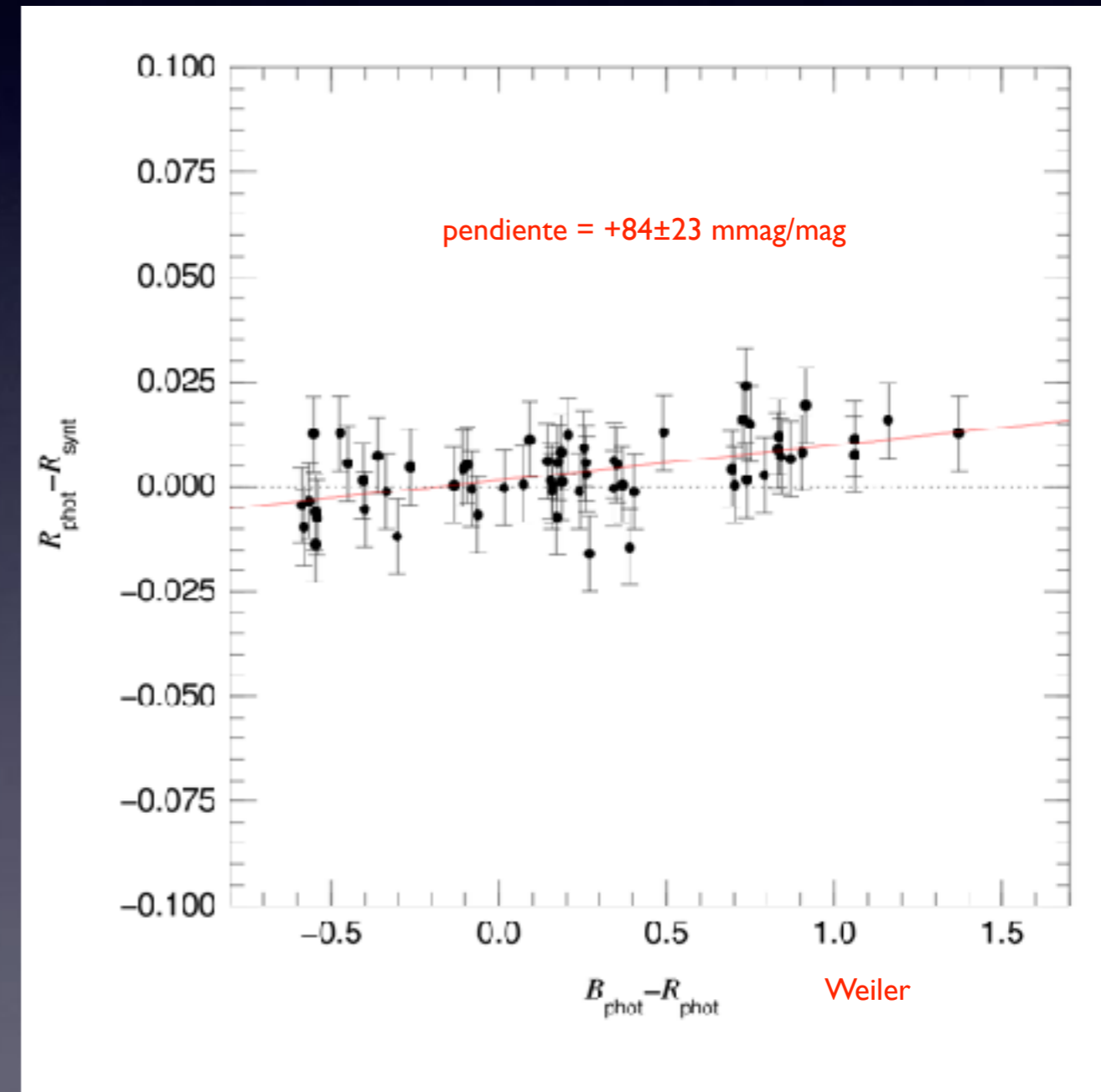
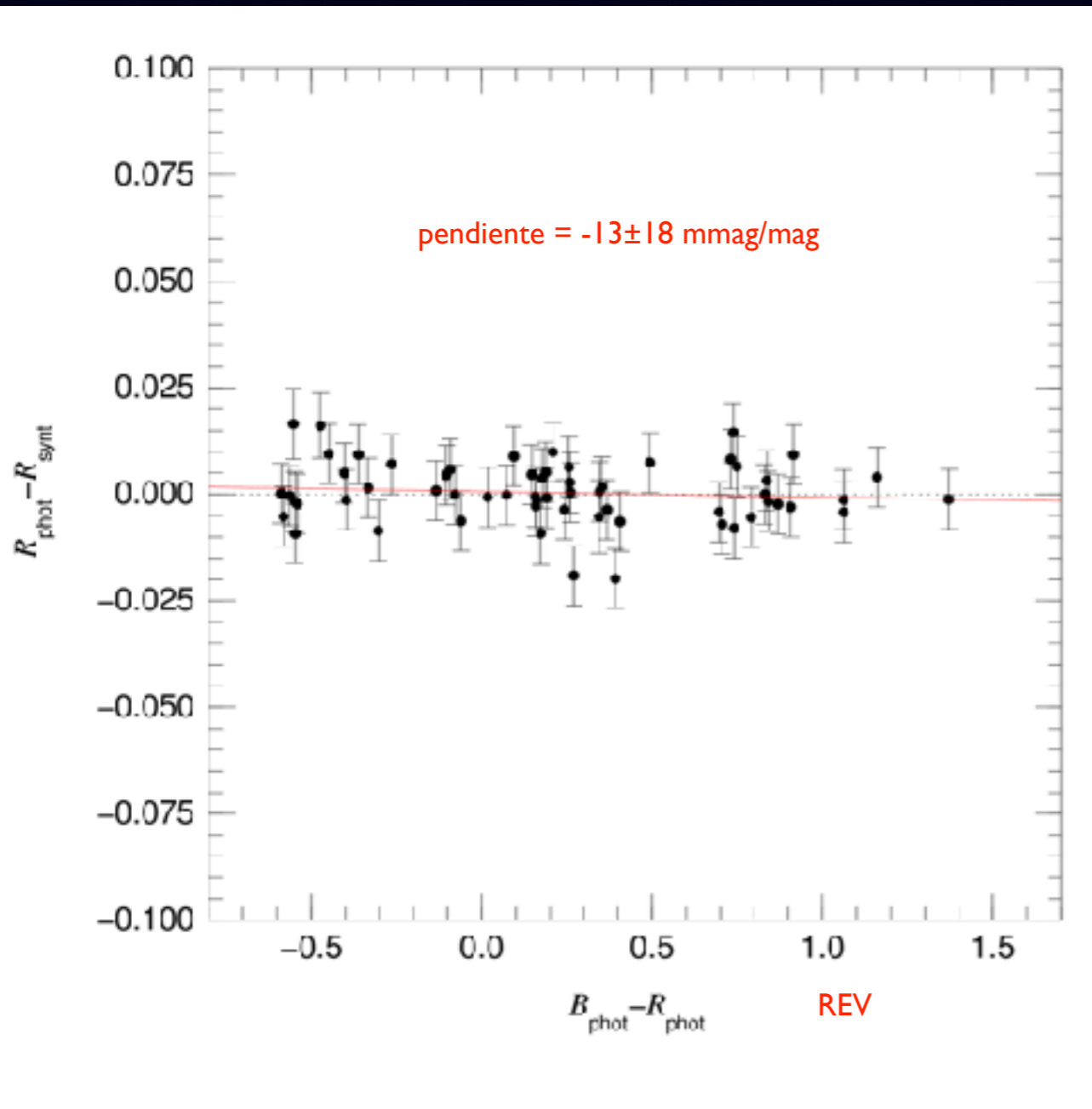
- Weiler (2018):
 - ★ Salto en $B = 11$ de 20 mmag.
 - ★ Curvas de sensibilidad diferentes a ambos lados de $B = 11$.



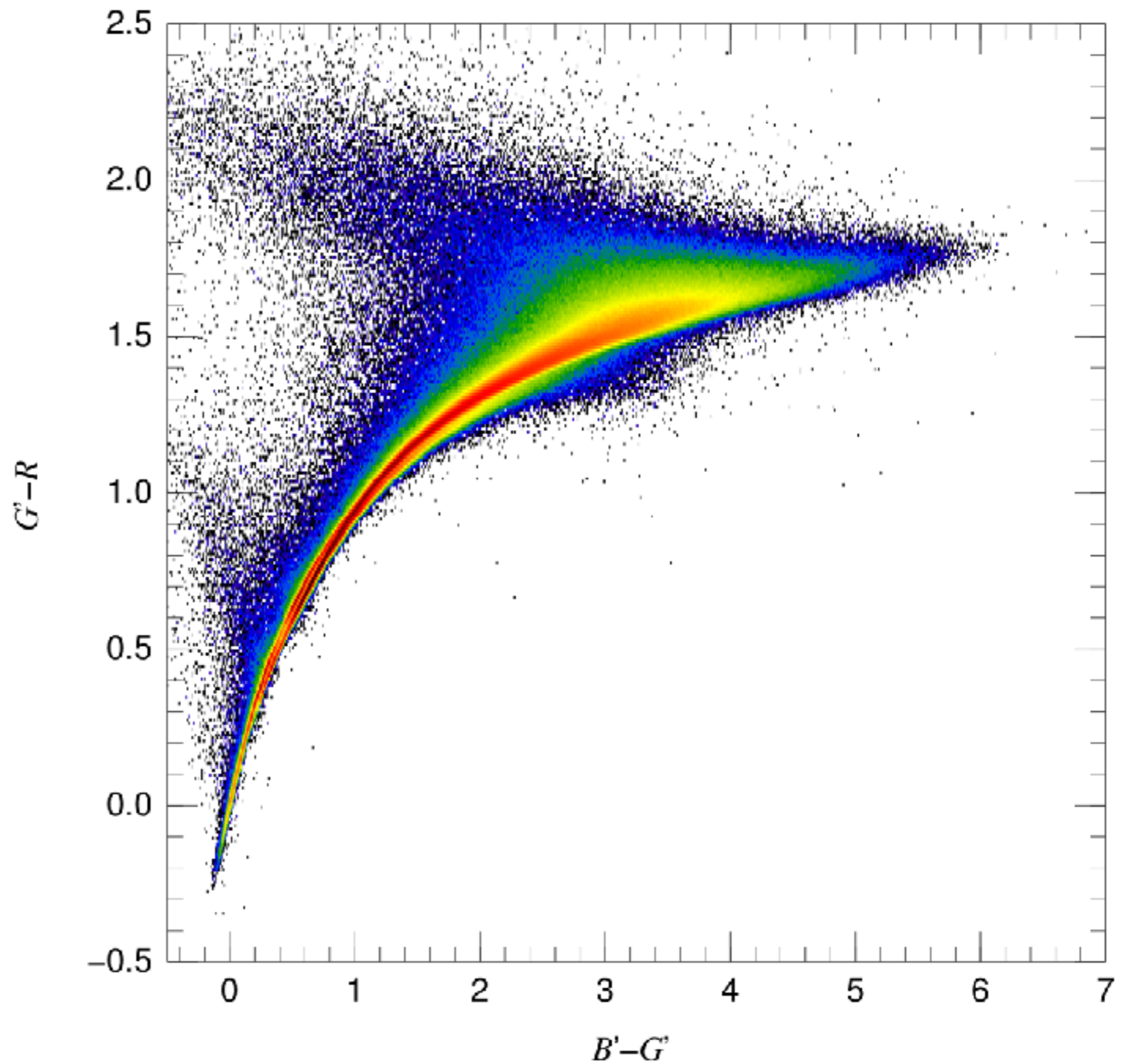
La banda R



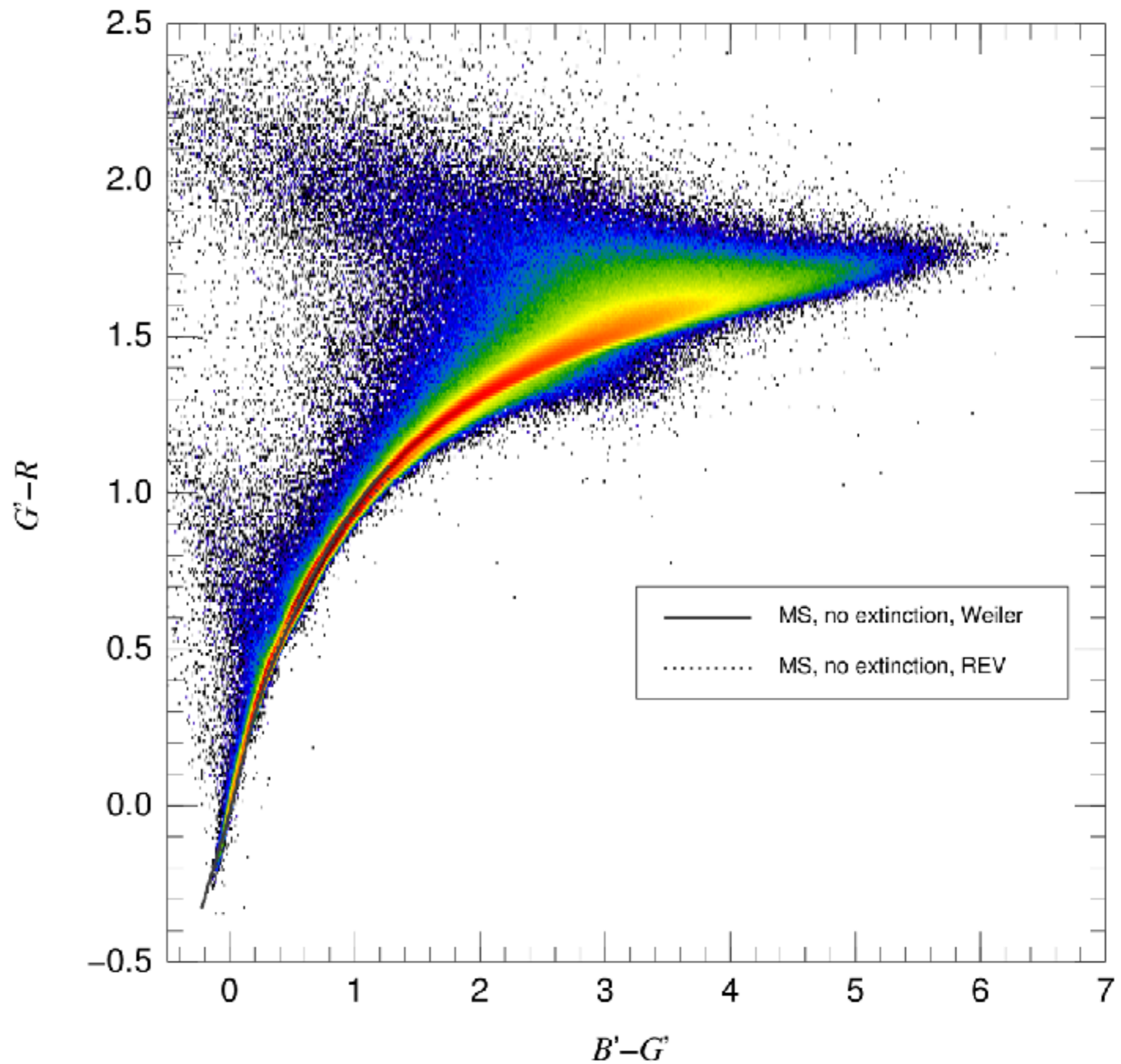
La banda R



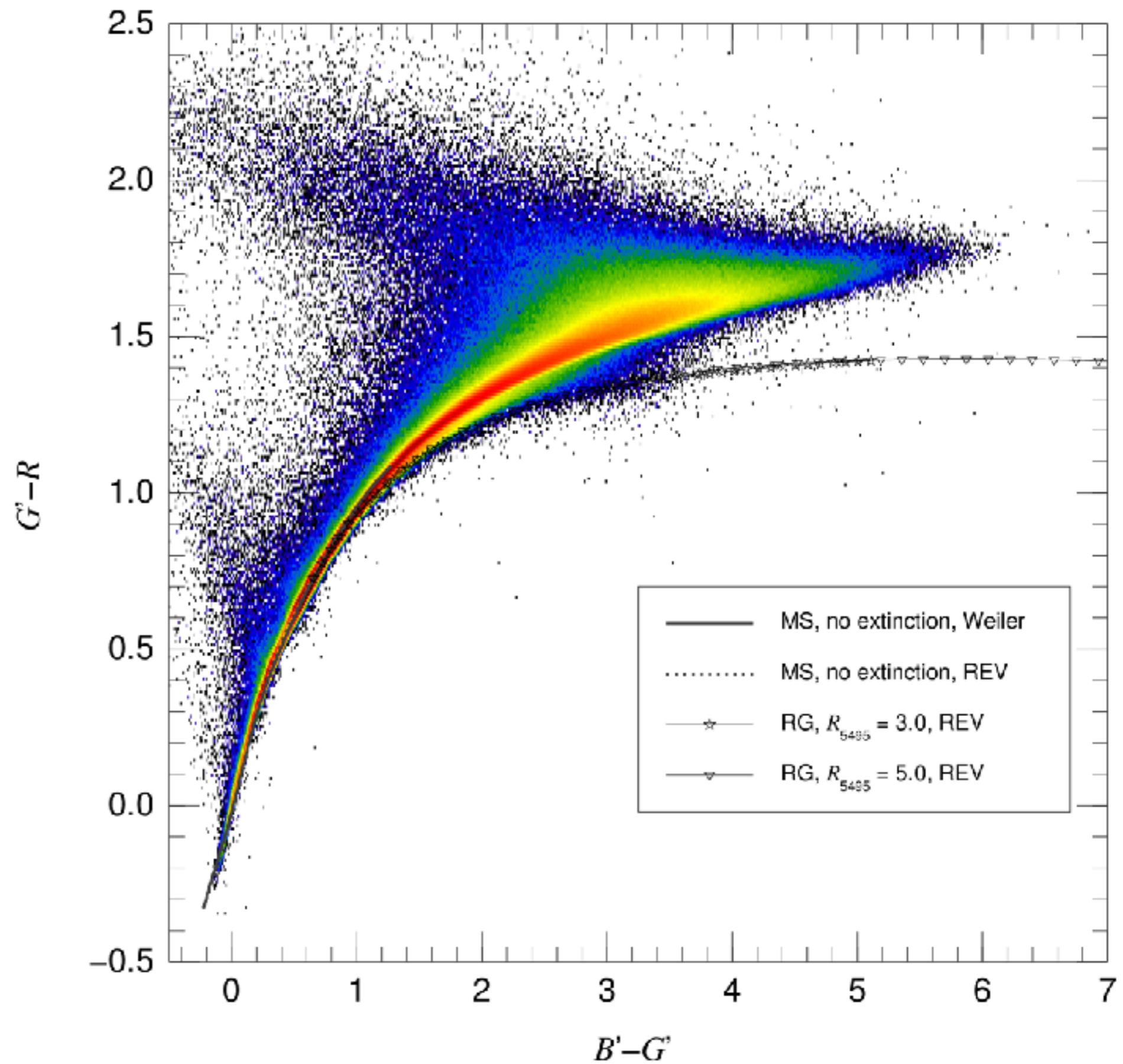
La banda R



La banda R



La banda R



La banda R

